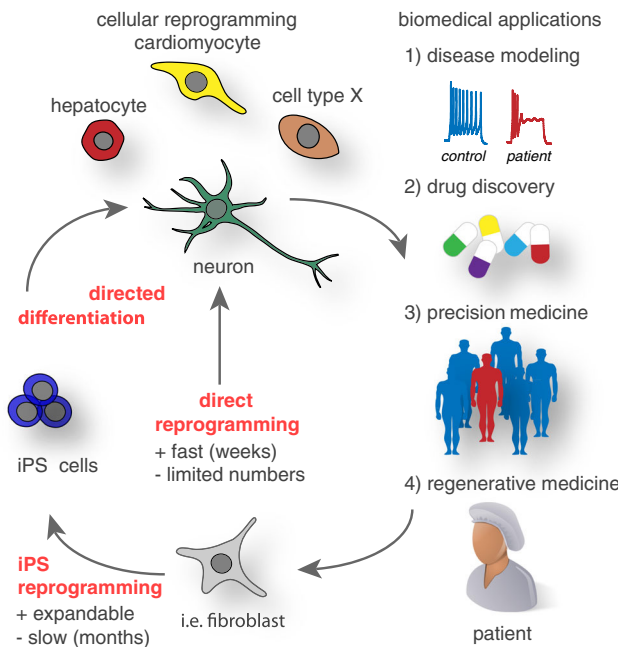


## 13. Online-Anhang

### 3.1 Mall/Wernig:

**Abbildung 1:** Techniken der zellulären Reprogrammierung und ihre Anwendung in der Medizin.

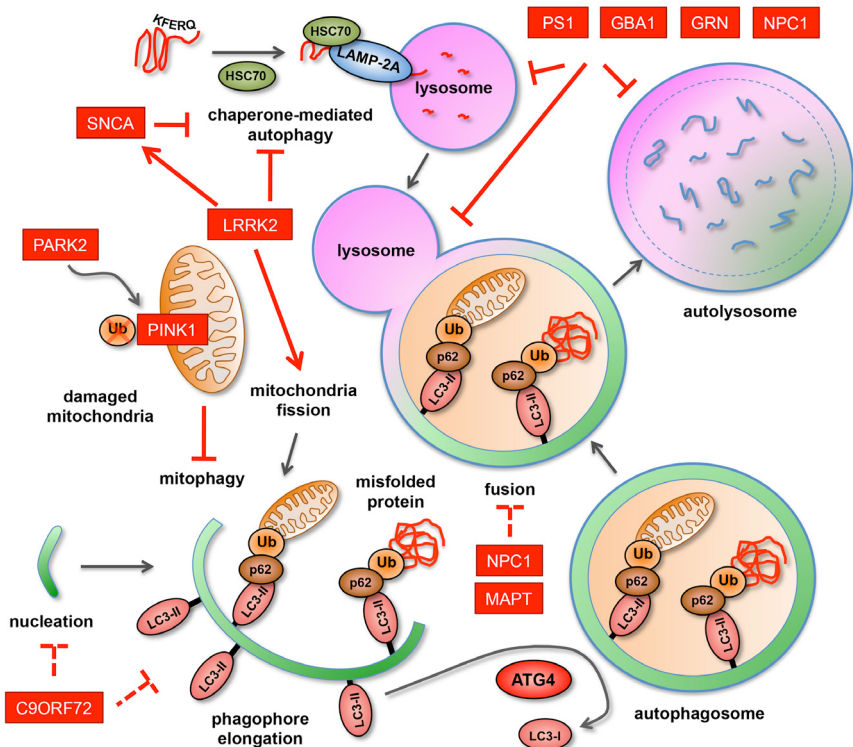


Quelle: Mall, M. und Wernig, M., J. Mol. Med. 95(7):695-703, 2017.

Diese Abbildung ist lizenziert unter einer Creative Commons Namensnennung 4.0. International Lizenz (<http://creativecommons.org/licenses/by/4.0/>).

### 3.2 Jungverdorben, Till, Brüstle:

**Abbildung 2:** Modellierung von Mutationen Autophagie-relevanter Gene, die mit neurodegenerativen Erkrankungen assoziiert sind.

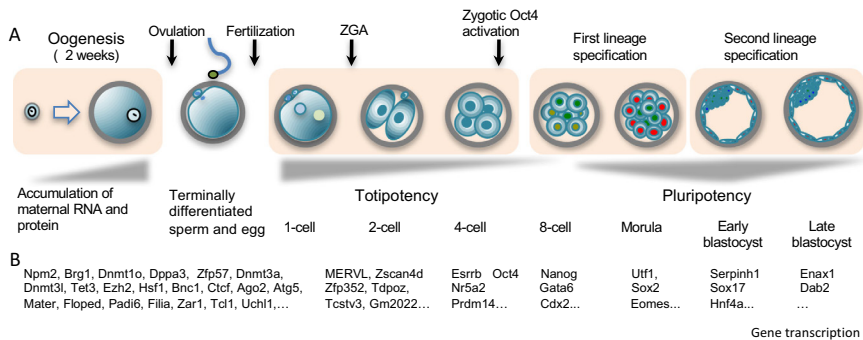


Quelle: Jungverdorben, J., Till, A. und Brüstle, O., J. Mol. Med. 95(7):705-718, 2017.

Diese Abbildung ist lizenziert unter einer Creative Commons Namensnennung 4.0. International Lizenz.

## 3.3 Wu, Lei, Schöler:

Abbildung 3: Totipotenz und Pluripotenz im Mausmodell.

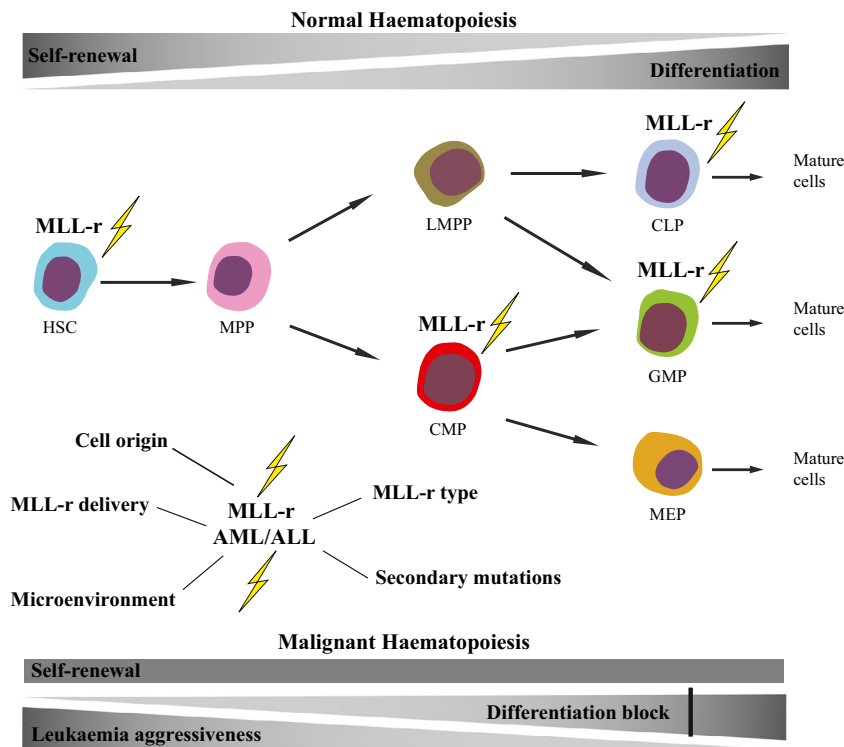


Quelle: Wu, G., Lei, L. und Schöler, H. R., J. Mol. Med. 95(7):687-694, 2017.

Diese Abbildung ist lizenziert unter einer Creative Commons Namensnennung 4.0. International Lizenz.

### 3.4 Basilico/Göttgens:

**Abbildung 4:** Fehlregulation der Blutzellentwicklung bei der Leukämie.

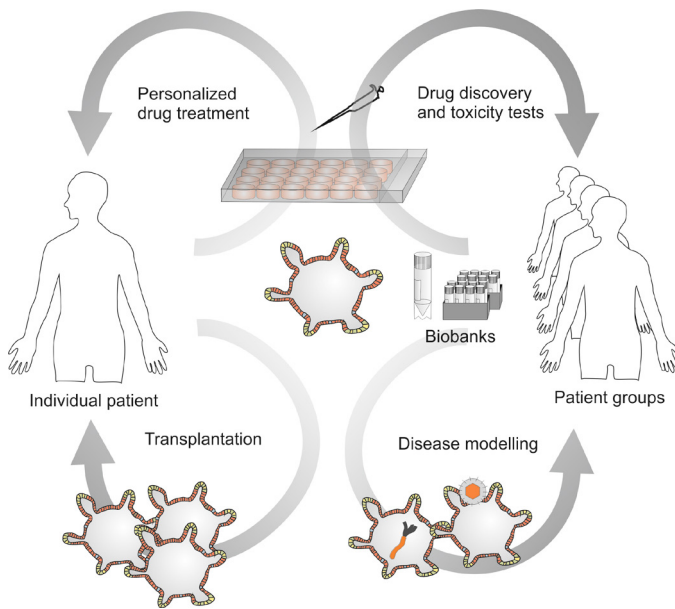


Quelle: Basilico, S. und Göttgens, B., J. Mol. Med. 95(7):719-727, 2017.

Diese Abbildung ist lizenziert unter einer Creative Commons Namensnennung 4.0 International Lizenz.

### 3.5 Bartfeld/Clevers:

**Abbildung 5:** Organoide haben ein hohes Potenzial für die Diagnostik, Therapie, Medikamentenentwicklung und Grundlagenforschung.



Quelle: Bartfeld, S. und Clevers, H., J. Mol. Med. 95(7):729-738, 2017.  
Nachdruck mit Genehmigung des Springer Verlages.